

III-40 手樽地区の不搅乱砂の動的間隙水圧特性と液状化強度

東北大学工学部

同

正員

柳沢 柴司

須藤 良清

1. はじめに

宮城県松島町にある手樽干拓堤防は、1978年宮城県沖地震に際して沈下・亀裂など多大な被害を蒙り、アスファルトフェーミングはもとより堤体本体も大きな損傷を受けた。この被災箇所附近には多量の嘔砂跡が見られるところから、嘔砂の液状化が被災の直接的原因と考えられている。復旧工事においてはサンドコンパクションパイロットによる地盤改良および鋼矢板の打設を行なったが、この改良効果を知るうえで地盤改良を行なう以前の砂層の液状化強度などについて資料が不足しているため、未改良地区より不搅乱砂を採取して動的試験を行なったので、その結果について報告する。

2. 試料土および実験結果

この干拓堤防は、6~25mの厚さの軟弱な粘土層の上に厚さ約6mの嘔砂を行ない、この上に構築されている。この嘔砂層は、平均N値が4.38となりやすく、間隙比も大きく、また、場所によると細粒分をかなり多く含む場合もある。試料土は、未改良地区内において0.5~1mのテストピットを掘り、内径5cm高さ15cmの円筒に刃先をつけたサンドサンプラーを砂層に押し込んで掘りあこし、キャップをふぶせてから取出して直ちにドライアイスで冷却して凍結させた。実験室内では-30°Cの冷凍庫に保管し、試験に際しては凍結したまま成形して三軸室内にせり、上に0.2kgf/cm²の拘束圧をかけて約10時間放置して完全に融解させた。供試体は二酸化炭素で置換された後に脱気水で飽和させ、圧密圧1kgf/cm²、バックラッシュ率-1kgf/cm²をかけた後には、軸差応力 $\sigma_a = 0.40 \sim 0.75$ kgf/cm²の範囲で1Hzの正弦波形で試験を行なった。なお、試料土は、比重 2.59 ± 0.01 、 $D_{50} = 0.15 \sim 0.20$ mm、 $U_c = 4 \sim 5$ cm²/秒以下を約10%含む砂である。 c_{max} 、 c_{min} はそれぞれ1.752および0.994である、供試体の平均相対密度は約60%であった。

動的試験で得られた間隙水圧比 U_g と載荷回数比 N/N_c との関係の例を図-1に示す。この図では、応力比 σ/σ_a が小さな場合には初期の間隙水圧の増加量が小さく、曲線が下側にあるが、応力比が大きくなると載荷初期の間隙水圧の増加量が大きくなり、曲線が上側にくらべて傾向が見られる。同図中、破線で示した曲線は、一度乱した後は同一密度に収容めた供試体12個の $U_g/\sigma_a = 0.275$ で試験した結果である。乱した試料では比較的直線に近い形で間隙水圧が蓄積されて行き、乱さ

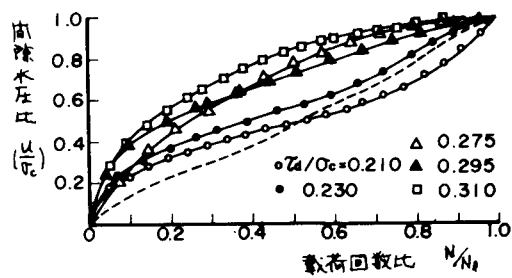


図-1 間隙水圧比と載荷回数比

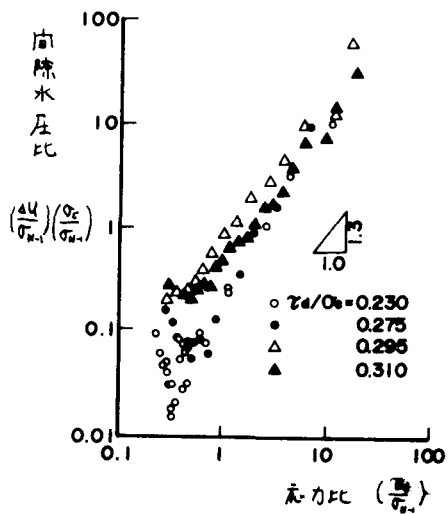


図-2 $(\frac{U_g}{U_{c1}})(\frac{\sigma_a}{\sigma_{a1}}) \propto (\frac{\sigma}{\sigma_{a1}})^{\frac{2}{1-\nu_{a1}}}$ の関係

ない材料の間隙水圧特性とはかなりの差異が認められる。

3. 動的間隙水圧の算定式¹⁾

柴田等は、 $\Delta u/\tau_a \cdot \sigma_{\text{eff}}/\sigma_c - \tau_a/\sigma_{\text{eff}}$ の間に直線関係が成立す。

$$\Delta u/\tau_a = a (\tau_a/\sigma_c) \quad (1)$$

の関係が成立することを示している。²⁾ 手擣砂についこの関係を求めて見ると図-2に示すようである。 $\tau_a/\sigma_{\text{eff}}$ の小さい場合を除いては直線関係が成立すが、この直線の傾きは2.0よりもやや小さく、はゞ1.3程度と見るのが妥当なようである。この関係を用いて、N回の載荷により発生する間隙水圧の増分を求める式を書き表わす。

$$\Delta u_N = \tau_{N-1}^{0.7} \times \tau_a^{1.3} \quad (2)$$

となる。一方、Sherif等は、応力履歴関数H、載荷効果関数N、密度関数Iを用いて動的間隙水圧を

$$\Delta u_N = H \cdot N \cdot I \quad (3)$$

と表わされたことを示している。²⁾ 手擣砂に関するSherif等の応力履歴関数形式 $(1 - u_{N-1}^*)$ は成立せず、図-3に示すよう τ_a/τ_{N-1} は $\Delta u/(1 - u_{N-1})^2$ と直線関係にあることが知られる。各回数毎の直線の傾きははゞ等しく2.5であり、また、各回数毎の直線の方程式からその定数項E Nの関数として表わすと(2)式より載荷効果関数は $N = 3.5 N^{-0.85}$ と近似できるので、

$$\Delta u_N = 3.5 N^{-0.85} (1 - u_{N-1})^2 (\tau_a/\tau_{N-1})^{2.5} \quad (4)$$

により間隙水圧を近似的に求めることができます。

4. 液状化強度

前項で求めた間隙水圧の算定式(2)および(4)の関係を用いて、間隙水圧と有効拘束圧に等しくなる回数を計算し、液状化強度として記してそれが図-4の二つの曲線である。同図中には、比較のために実験より求めた手擣砂の液状化強度が丸で示されている。この図から明らかなように、式(2)は応力比の大きい場合に実験値とよく一致しているが、応力比の小さいところでは実験値との差異が大きい。一方、式(4)の関係は応力比の大小をとこころでは実験値と良い一致をみるが、応力比の大きいところでは差が見られる。(しかし、これは安全側の誤差である。) なお、同図中の黒丸は乱して試料についての実験結果であるが、液状化強度については乱してない試料との顕著な差異は認められない。

5. おまけ

手擣砂地区の不規則砂について動的間隙水圧を示めた経験式を求めてみた。手擣干拓堤防の地盤応答を示めさせて、間隙水圧の発生量を推定する指標を得られたので、今後、これらの式を用いて非線形応答解析を進めることが可能となる。本報告をまとめたあたり、実験を遂行して下さった清水建設KK.金子勝之氏の尽力に深心の謝意を表します。

参考文献

- 1) 柴田・田中・黒田「振返(載荷中の過剰間隙水圧)」第13回国土質工学研究発表会講演集(1978)
- 2) Sherif, Ishibashi, Tsuchida, "Pore-Pressure Prediction during Earthquake Loading"

土質工学会論文報告集 Vol. 18, No. 4, 1978

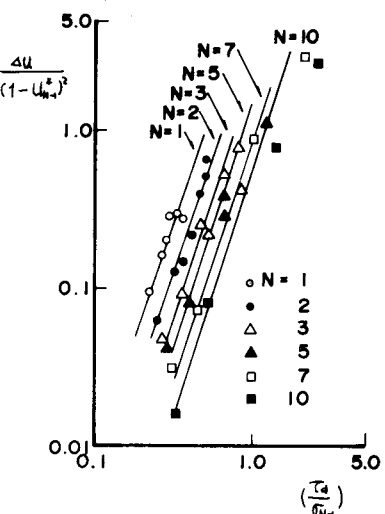


図-3 $\frac{\Delta u}{(1 - u_{N-1})^2}$ と $\frac{\tau_a}{\sigma_{\text{eff}}}$ の関係

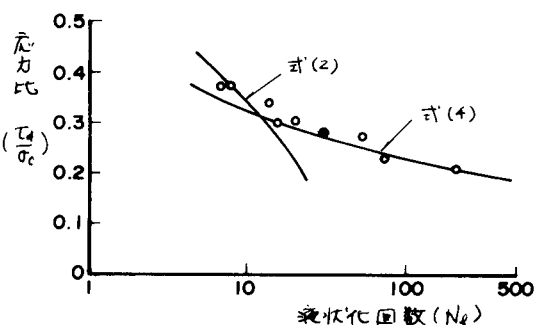


図-4 応力比と液状化回数